

UNIVERSIDADE FEDERAL DE UBERLÂNDIA

---

# **ANÁLISE EQUAÇÃO DE DIFUSÃO BIDIMENSIONAL**

---

January 9, 2018

José Augusto

---

## Contents

<b>1</b>	<b>Introdução</b>	<b>3</b>
<b>2</b>	<b>Problema</b>	<b>3</b>
2.1	Equação de difusão bidimensional . . . . .	3
2.2	Discretização . . . . .	4
2.3	Implementação . . . . .	5
<b>3</b>	<b>Resultados</b>	<b>5</b>
3.1	Resultados . . . . .	5
3.2	Análise dos resultados . . . . .	6
<b>4</b>	<b>Conclusão</b>	<b>9</b>

## List of Figures

1	Decaimento do erro pelo aumento do número de nodos . . . . .	7
2	Solução analítica. . . . .	8
3	Solução numérica. . . . .	8

---

# 1 INTRODUÇÃO

Este documento contém o relatório dos métodos empregados na simulação numérica da equação de difusão bidimensional, apresenta os resultados obtidos e uma análise dos mesmos.

## 2 PROBLEMA

Essa seção apresenta o problema e a maneira como tal foi atacado para obtenção dos resultados.

### 2.1 Equação de difusão bidimensional

A equação é apresentada da seguinte maneira:

$$\frac{\partial T}{\partial t} = \alpha \left( \frac{\partial^2 T}{\partial x^2} + \frac{\partial^2 T}{\partial y^2} \right) + g(x, y, t) \quad (1)$$

Tal que,  $T(x, y, t) = \sin(\pi x) \sin(\pi y) e^{-2\alpha\pi^2 t}$ , dessa maneira, aplicando as derivadas, obtemos:

$$\frac{\partial T}{\partial t} = -2\alpha\pi^2 \sin(\pi x) \sin(\pi y) e^{-2\alpha\pi^2 t} \quad (2)$$

$$\frac{\partial^2 T}{\partial x^2} = -\pi^2 \sin(\pi x) \sin(\pi y) e^{-2\alpha\pi^2 t} \quad (3)$$

$$\frac{\partial^2 T}{\partial y^2} = -\pi^2 \sin(\pi x) \sin(\pi y) e^{-2\alpha\pi^2 t} \quad (4)$$

Desta maneira, substituindo (2), (3) e (4) em (1), podemos encontrar o termo fonte  $g(x, y, t)$ .

$$\frac{\partial T}{\partial t} - \alpha \left( \frac{\partial^2 T}{\partial x^2} + \frac{\partial^2 T}{\partial y^2} \right) = g(x, y, t)$$

$$g(x, y, t) = -2\alpha\pi^2 \sin(\pi x) \sin(\pi y) e^{-2\alpha\pi^2 t} - \alpha[-\pi^2 \sin(\pi x) \sin(\pi y) e^{-2\alpha\pi^2 t} - \pi^2 \sin(\pi x) \sin(\pi y) e^{-2\alpha\pi^2 t}]$$

$$g(x, y, t) = -2\alpha\pi^2 \sin(\pi x) \sin(\pi y) e^{-2\alpha\pi^2 t} + 2\alpha\pi^2 \sin(\pi x) \sin(\pi y) e^{-2\alpha\pi^2 t}$$

$$g(x, y, t) = 0$$

## 2.2 Discretização

Para a discretização da equação diferencial, foi utilizado o método de Crank-Nicolson, que é baseado no método das diferenças centradas no espaço e da regra trapezoidal no tempo, com uma combinação do método de Euler implícito e explícito. Tem-se que tal método é um método de segunda ordem no tempo e no espaço. A discretização foi realizada a partir de (4), da seguinte maneira:

$$\frac{\partial T}{\partial t} = \alpha \left( \frac{\partial^2 T}{\partial x^2} + \frac{\partial^2 T}{\partial y^2} \right)$$

Aplicando o método de Crank-Nicolson em duas dimensões nos deixa com:

$$T_{j,l}^{n+1} = T_{j,l}^n + \frac{1}{2}s \left( \delta_x^2 T_{j,l}^{n+1} + \delta_x^2 T_{j,l}^n + \delta_y^2 T_{j,l}^{n+1} + \delta_y^2 T_{j,l}^n \right)$$

Tomamos então  $s = \frac{\alpha \cdot \Delta t}{2\Delta^2}$  levando em consideração que  $\Delta \equiv \Delta x = \Delta y$ , e temos que:

$$\delta_x^2 T_{j,l}^n \equiv T_{j-1,l}^n - 2T_{j,l}^n + T_{j+1,l}^n$$

Valendo também para  $\delta_y^2 T_{j,l}^n$ . Mas agora existe o problema das várias equações a serem solucionadas numa matriz que não é mais tridiagonal. Para resolver esse problema, ainda mantendo as ordens de erro do método de Crank-Nicolson, podemos utilizar o método da direção implícita alternada, que ainda teremos  $\mathcal{O}(\Delta^2)$  e  $\mathcal{O}(\Delta t^2)$ , ou seja, segunda ordem no tempo e espaço. Teremos que resolver as seguintes sistemas de equações:

$$\begin{aligned} T_{j,l}^{n+1/2} &= T_{j,l}^n + \frac{1}{2}s \left( \delta_x^2 T_{j,l}^{n+1/2} + \delta_y^2 T_{j,l}^n \right) \\ T_{j,l}^{n+1} &= T_{j,l}^{n+1/2} + \frac{1}{2}s \left( \delta_x^2 T_{j,l}^{n+1/2} + \delta_y^2 T_{j,l}^{n+1} \right) \end{aligned}$$

O que resulta em um sistema tridiagonal que será resolvido na direção de  $x$  e depois na direção de  $y$ .

Para obtenção da solução do problema foram definidas as seguintes condições:

$$\begin{aligned} T(0, y, t) &= 0, \quad \forall t > 0 \text{ e } \forall y > 0 \\ T(L, y, t) &= 0, \quad \forall t > 0 \text{ e } \forall y > 0 \\ T(x, 0, t) &= 0, \quad \forall t > 0 \text{ e } \forall x > 0 \\ T(x, L, t) &= 0, \quad \forall t > 0 \text{ e } \forall x > 0 \\ T(x, y, 0) &= \sin(\pi x) \sin(\pi y), \quad \forall x \in [0, 1] \text{ e } \forall y \in [0, 1] \end{aligned}$$

O domínio escolhido é contido no intervalo  $[0, \leq x \leq 1]$  e  $[0, \leq y \leq 1]$ , ou seja, se trata de uma malha quadrada.

---

## 2.3 Implementação

A implementação do método foi realizada utilizando a linguagem Fortran. Para facilitar a simulação do método, alguns parâmetros foram deixados como constantes, sendo eles  $\alpha = 1$  e também  $\Delta t = 0.0001$  e foram feitos 100 passos no tempo.

Como se trata de um método implícito, é necessário realizar a resolução de um sistema de equações a cada passo tempo, uma vez para cada direção de cada dimensão, como em cada direção essa sistema será tridiagonal, para ajudar na performance, foi utilizado o algoritmo de Thomas, que tem um complexidade de  $\mathcal{O}(n)$ .

Nessa implementação, para o calculo do erro foi utilizada o norma  $L_\infty$ , como se trata de uma norma que captura o maior erro, foi implementada da seguinte maneira. A cada passo de tempo executado pelo programa, é realizado a captura do maior erro para o passo, seguindo a seguinte maneira:

$$\begin{aligned} an &\leftarrow \text{matrix solução analítica} \\ nu &\leftarrow \text{matrix solução numérica} \\ l &\leftarrow l = \{x_{i,j} \mid x = \sqrt[2]{(an_{i,j} - nu_{i,j})^2}\} \\ \epsilon &\leftarrow \max(l) \end{aligned}$$

Retornamos  $\epsilon$  e adicionamos em um vetor de erros, em que cada posição contém o maior erro cometido a cada passo de tempo, assim, quando o programa executa todos os passos de tempo, retiramos o maior valor desse vetor de erros, dessa forma é possível capturar o error de maior magnitude que ocorreu durante a execução do método levando em consideração todos os passos de tempo.

## 3 RESULTADOS

Essa seção apresenta os resultados que foram obtidos a partir da implementação explicada na seção anterior.

### 3.1 Resultados

Para analisar o valor do erro em relação a solução analítica, foram executadas diversas execuções em sequência. Para esse teste variamos o valor de  $\Delta x$ , dobrando o número de

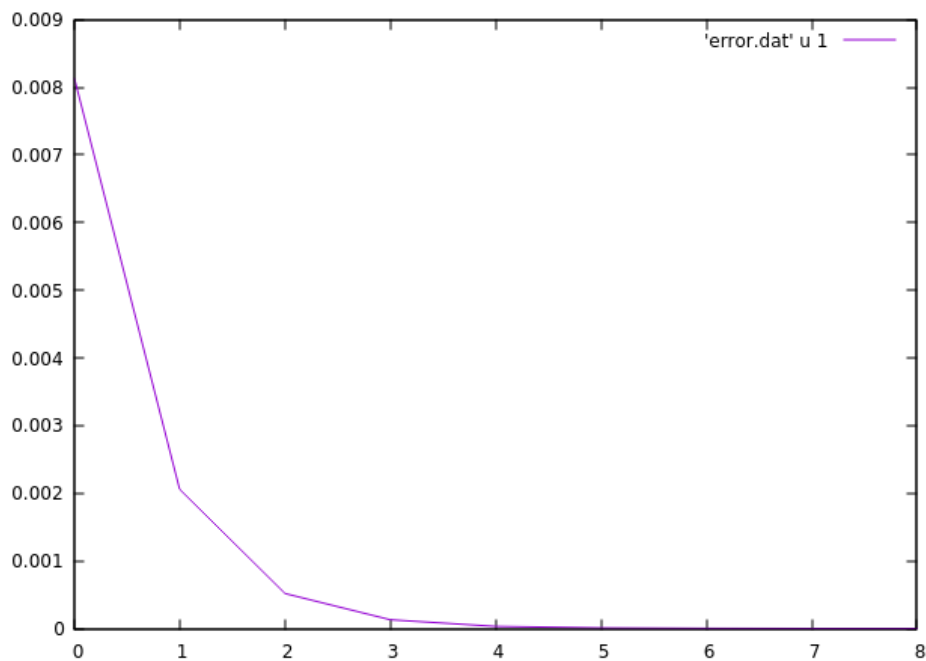
nodos na malha a cada execução, ou seja, diminuindo o valor de  $\Delta x$ , com isso podemos analisar o que acontece com o erro entre a solução analítica e numérica. Como Crank-Nicolson é um método de segunda ordem, tanto em tempo como em espaço, o resultado esperado seria de que a cada execução, com o número de nodos da malha dobrando, temos que o erro diminuiria numa razão de 4. Dessa execução, os resultados obtidos foram:

Número de nodos	$\epsilon$	Razão
$2^2$	8.1340970029509796E-003	–
$2^3$	2.0575119873840197E-003	3.9533655467509115
$2^4$	5.1587161073007870E-004	3.9884187161843627
$2^5$	1.2905213280334227E-004	3.9973892683834698
$2^6$	3.2259124661537797E-005	4.000484642945372
$2^7$	8.0553631820468041E-006	4.004676627546048
$2^8$	2.0040783927921524E-006	4.019485071551412
$2^9$	4.9123535339479218E-007	4.079670526444237
$2^{10}$	1.1302353553066524E-007	4.346310271470065

### 3.2 Análise dos resultados

Podemos notar que a razão é o valor esperado, pois como citado anteriormente, o método de Crank-Nicolson é de segunda ordem tanto em espaço e tempo, e foi obtida uma redução do erro por uma razão de 4. Inicialmente, com a malha contendo 4 células, valores um pouco menores, mas assim que o número de células da malha começa a aumentar, a razão logo converge para 4.

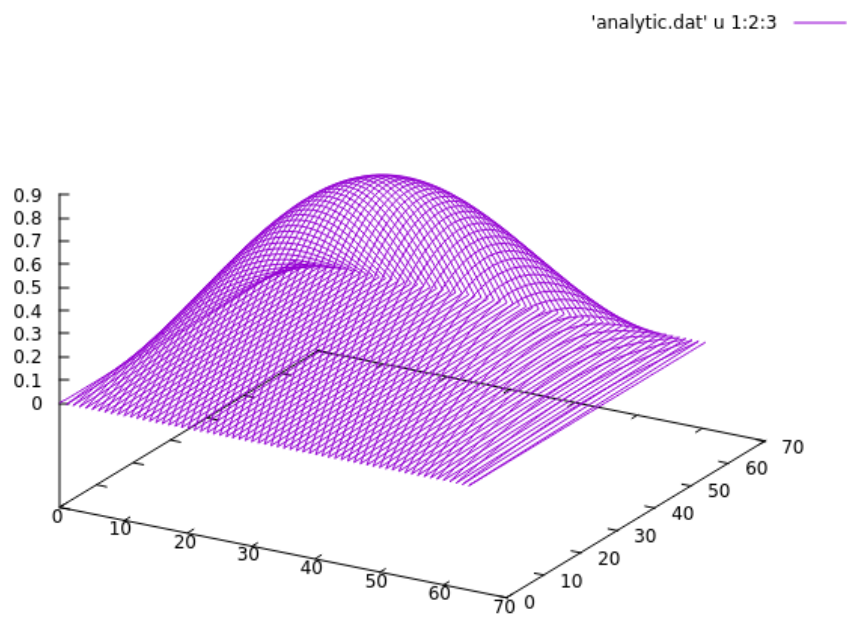
Visualmente, o gráfico gerado a partir dos erros foi o seguinte:



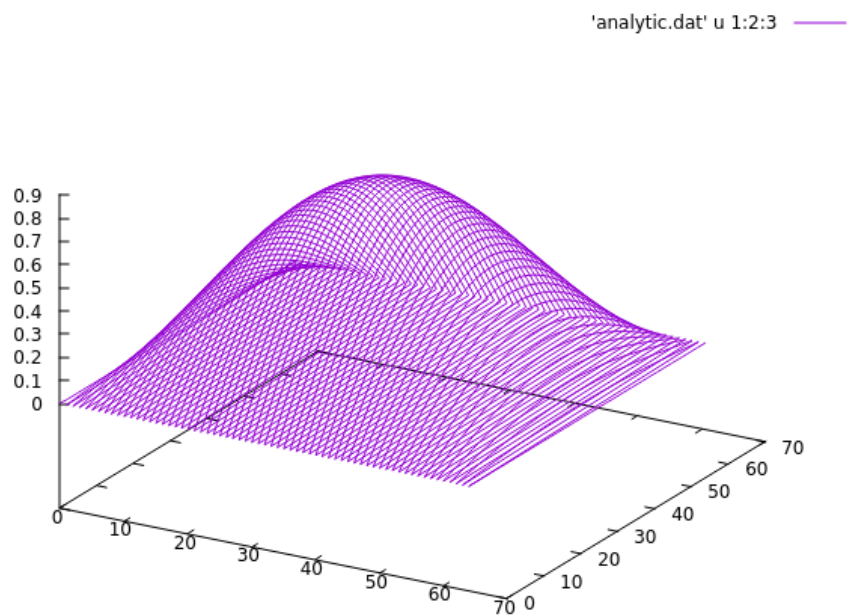
**Figure 1:** Decaimento do erro pelo aumento do número de nodos

Tanto pelo valores, como pelo gráfico, podemos notar que com um aumento do número de nodos na malha, a solução numérica se aproxima mais e mais da solução analítica.

Para quesito de visualização, esses foram os gráficos gerados para solução analítica e numérica:



**Figure 2:** Solução analítica.



**Figure 3:** Solução numérica.



---

Ambas as soluções do gráfico, foram feitas com uma malha possuindo 64 nodos, após serem realizados os 100 passos de tempos da simulação.

## 4 CONCLUSÃO

Inicialmente um problema da equação de difusão bidimensional, representada por uma equação diferencial, se utilizando do método de Crank-Nicolson e do método da direção implícita alternada, para resolver cada dimensão por vez, quando realizada a comparação dos resultados obtidos pelo método numérico com os resultados da solução analítica, é possível comprovar a relação de  $\Delta t$ ,  $\Delta x$  e o erro.

Nesse aspecto, é possível encontrar valores ótimos para manter o sistema estável, mesmo Crank-Nicolson sendo um método incondicionalmente estável, ainda podem existir fatores que criam oscilações na resolução, o que pode se propagar com os passos tempos.

Com o nosso experimento realizado, foi possível comprovarmos que o erro do método é de segunda ordem, e que ao dobrar o número de nodos reduzimos o nosso erro por 4.